

не ниже порядка  $k$  (порядка аппроксимации).

*Доказательство:* Рассмотрим погрешность разностного решения

$$z(x) = y(x) - u(x).$$

Мы получили для решения исходной задачи разностную схему, возмущённую невязками

$$\begin{cases} A_h u = \varphi - \psi, & x \in \omega_h \\ R_h u = \chi - \eta, & x \in \Gamma_h \end{cases}$$

Вычитая эти уравнения из соответствующих уравнений (3)-(4), найдём:

$$\begin{cases} A_h z = \psi \\ R_h z = \eta \end{cases} \quad (**)$$

Схема (\*\*\*) устойчива, то есть

$$\|z\|_{y_h} \leq C_1 \|\psi\|_{\varphi} + C_2 \|\eta\|_{\chi}.$$

Но, поскольку исходная схема (3)-(4) обладает аппроксимацией порядка  $k$ , то

$$\|z\|_{y_h} \leq C_1 \alpha h^k + C_2 \beta h^k = C h^k.$$

Фактическая сходимость может иметь более высокий порядок.

### §3. Разностные схемы для одномерного уравнения теплопроводности

#### 3.1 Постановка задачи. Разностная схема

Рассмотрим задачу о распространении тепла на отрезке в случае простейших краевых условий 1-го рода (условий Дирихле)

$$u_t = a^2 u_{xx} + f(x, t), \quad 0 < x < l, \quad t > 0$$

начальные условия

$$u(x, 0) = \mu_1(x) \equiv \mu(x) \quad (11)$$

однородные краевые условия

$$u(0, t) = \mu_2(t) \equiv 0; \quad u(l, t) = \mu_3(t) \equiv 0, \quad t \geq 0.$$

а) **Конечно-разностная аппроксимация простейших дифференциальных операторов первого порядка.**

Введем в области  $\bar{D} = [0; l] \times [0; T]$  сетку  $\Omega = \omega_h \times \omega_\tau$ , где

$$\omega_h = \left\{ \begin{array}{l} 0 = x_0 < x_1 < \dots < x_N = l \\ x_n = x_0 + nh, \quad h = \frac{x_N - x_0}{N} \end{array} \right\} \quad \text{и} \quad \omega_\tau = \left\{ \begin{array}{l} 0 = t_0 < t_1 < \dots < t_M = T \\ t_m = t_0 + m\tau, \quad \tau = \frac{T - t_0}{M} \end{array} \right\}.$$

Рассмотрим сеточную функцию  $y(x_n; t_m) = y_n^m = y$  на сетке  $\Omega \equiv \omega_{h,\tau}$ . Построим сеточные аналоги простейших дифференциальных операторов первого порядка:

$$\begin{aligned} l_x y &= y_{x,i} = \frac{y_{i+1} - y_i}{h}, && \text{производная} \\ &&& \text{вперёд} \\ \hat{L}u = u'(x) = \frac{du}{dx} &\Rightarrow l_{\bar{x}} y = y_{\bar{x},i} = \frac{y_i - y_{i-1}}{h}, && \text{производная} \\ &&& \text{назад} \\ l_x^0 y &= y_{x,i}^0 = \frac{y_{i+1} - y_{i-1}}{2h}, && \text{центральная} \\ &&& \text{производная} \end{aligned} \quad (12)$$

Их аппроксимация  $L_h u - (Lu)_h$  имеет следующий порядок:  
Для производной вперёд  $l_x$

$$\begin{aligned} \frac{u_{i+1} - u_i}{h} - u'(x_i) &= \frac{u(x_i + h) - u_i}{h} - u'(x_i) = \\ &= \frac{u(x_i) + u'(x_i)h + O(h^2) - u_i}{h} - u'(x_i) = O(h), \end{aligned}$$

т.е. обладает аппроксимацией 1-го порядка.

Аналогично  $l_{\bar{x}}$

$$\begin{aligned} \frac{u_i - u_{i-1}}{h} - u'(x_i) &= \frac{u(x_i) - u(x_i - h)}{h} - u'(x_i) = \\ &= \frac{u_i - [u(x_i) - u'(x_i)h + O(h^2)]}{h} - u'(x_i) = O(h). \end{aligned}$$

Центральная производная  $l_x^0$  имеет повышенный порядок аппроксимации

$$\begin{aligned} \frac{u_{i+1} - u_{i-1}}{2h} - u'(x_i) &= \frac{u(x_i + h) - u(x_i - h)}{2h} - u'(x_i) = \\ &= \frac{u(x_i) + u'(x_i)h + h^2/2 u''(x_i) + O(h^3) - [u(x_i) - u'(x_i)h + h^2/2 u''(x_i) + O(h^3)]}{2h} - \\ &\quad - u'(x_i) = O(h^2). \end{aligned}$$

**б) Конечно-разностная аппроксимация простейших дифференциальных операторов второго порядка.**

Определим вторую разностную производную для узла  $x_i$  (рекуррентно):

$$\begin{aligned}\hat{L} &= \frac{d^2}{dx^2} = \frac{d}{dx} \left( \frac{d}{dx} \right) \Rightarrow y_{\bar{x}x,i} = (y_{\bar{x}})_{x,i} = \frac{1}{h} (y_{\bar{x},i+1} - y_{\bar{x},i}) = \\ &= \frac{1}{h} \left( \frac{y_{i+1} - y_i}{h} - \frac{y_i - y_{i-1}}{h} \right) = \frac{y_{i+1} - 2y_i + y_{i-1}}{h^2} = y_{x\bar{x},i}.\end{aligned}\quad (13)$$

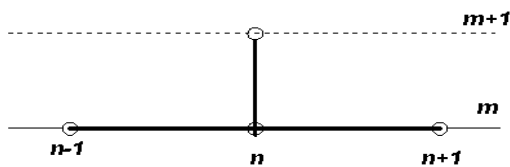
Получим её порядок аппроксимации

$$\begin{aligned}L_h u - (Lu)_h &= u_{\bar{x}x,i} - (u'')_i = \frac{u(x_i + h) - 2u(x_i) + u(x_i - h)}{h^2} - u''(x_i) = \\ &= \frac{1}{h^2} \left( h^2 u''(x_i) + O(h^4) \right) - u''(x_i) = O(h^2).\end{aligned}$$

Аналогично мы можем построить аппроксимации и более сложных производных.

**Разностная схема.** После аппроксимации простейших дифференциальных операторов, вернемся к уравнению (11.1).

Используя так называемый метод *разностной аппроксимации*, мы можем каждый из дифференциальных операторов задачи (11) аппроксимировать соответствующим разностным оператором (12), (13). Производная вперед по  $t$  для  $(n, m)$ -го узла



$$y_{t;n,m} = \frac{y_n^{m+1} - y_n^m}{\tau} = \frac{\hat{y}_n - y_n}{\tau} = \frac{\hat{y} - y}{\tau}.$$

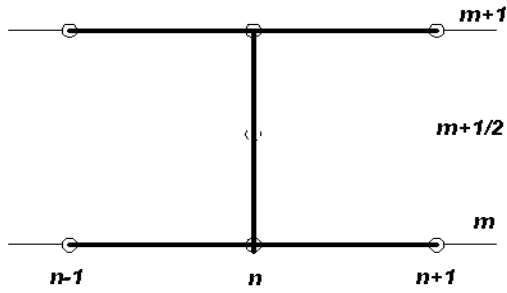
Это выражение рассматривается относительно текущего узла  $x_n$  на двух слоях по  $t$ .

Пространственные производные второго порядка аппроксимируются разностным оператором

$$y_{\bar{x}x;n,m} = \frac{1}{h^2} (y_{n+1}^m - 2y_n^m + y_{n-1}^m) = \Lambda_h y_n^m \equiv \Lambda_h y.$$

При построении такой разностной аппроксимации на  $\omega_{h,\tau}$  мы использовали шаблон из четырех узлов.

Относительно  $(m+1)$ -го временного слоя схема получилась *явной* — с  $(m+1)$ -го временного слоя используется только одно значение сеточной функции. В дальнейшем мы покажем, что простейшая явная схема не является наилучшей в смысле аппроксимации и, особенно, устойчивости. Поэтому сразу же рассмотрим однопараметрическое семейство схем на шеститочечном шаблоне:



$$\frac{y_n^{m+1} - y_n^m}{\tau} = \alpha^2 \Lambda_{\bar{x}x} \{ \sigma y_n^{m+1} + (1 - \sigma) y_n^m \} + \varphi_n^m,$$

где вес  $\sigma \in [0; 1]$ .

При  $\sigma = 0$  получается чисто *явная* схема, при  $\sigma = 1$  — чисто *неявная* схема. При аппроксимации правой части  $f(x, t) \Rightarrow \varphi_n^m$  мы использовали, так называемый, *метод неопределенных коэффициентов* в простейшей его форме, когда подбирается всего один коэффициент  $\varphi_n^m$  (без дополнительного сложного шаблона).

Итак, получаем разностную задачу:

$$\begin{cases} \frac{1}{\tau} (y_n^{m+1} - y_n^m) = \alpha^2 \Lambda_h \{ \sigma \hat{y} + (1 - \sigma) y \} + \varphi_n^m; & (x_n, t_m) \in \omega_{h,\tau} \\ y_n^0 = \chi_n; \\ y_0^m = y_N^m = 0 = \chi_{0,N}^m \end{cases} \quad (14)$$

Уравнение (14.1) записано относительно внутренних узлов  $(n, m)$  сетки  $\bar{\Omega}$ . При аппроксимации начальных и краевых условий мы также использовали метод неопределенных коэффициентов. Теперь изучим свойства построенной разностной схемы.

### 3.2 Порядок аппроксимации разностной схемы (14)

Напомним еще раз, что для определения порядка аппроксимации разностной схемы (14), нужно точное решение (11) подставить в эту схему и, в предположении достаточной гладкости решения  $u(x, t)$ , определить порядки невязок  $\psi$  и  $\eta$  по  $h$  и  $\tau$ .

Одновременно с этим, мы проследим идею метода неопределенных коэффициентов, выбираемых из соображений обеспечения максимального порядка аппроксимации (на примере построения  $\varphi_n^m$  и частично  $\chi_n$ ).

Введем в рассмотрение промежуточный слой по  $t$ :

$$\bar{t} = t_m + \frac{\tau}{2} = t_{m+\frac{1}{2}} = m\tau + \frac{\tau}{2}.$$

Тогда

а) временная часть:

$$\frac{1}{2\tau} (u_n^{m+1} - u_n^m) = u_{0; n, m+\frac{1}{2}} = u'_t \left( x_n, t_{m+\frac{1}{2}} \right) + O(\tau^2);$$

б) пространственная часть:

$$\begin{aligned} \sigma \hat{u} + (1 - \sigma) u &= \sigma u \left( x_n, t_{m+\frac{1}{2}} + \frac{\tau}{2} \right) + (1 - \sigma) u \left( x_n, t_{m+\frac{1}{2}} - \frac{\tau}{2} \right) = \\ &= \sigma \left\{ u \left( x_n, t_{m+\frac{1}{2}} \right) + \frac{\tau}{2} \bar{u}_t + \frac{1}{2!} \left( \frac{\tau}{2} \right)^2 \bar{u}_{tt} + O(\tau^3) \right\} + \end{aligned}$$

$$\begin{aligned}
& + (1 - \sigma) \left\{ u \left( x_n, t_{m+\frac{1}{2}} \right) - \frac{\tau}{2} \bar{u}_t + \frac{1}{2!} \left( \frac{\tau}{2} \right)^2 \bar{u}_{tt} + O(\tau^3) \right\} = \\
& = \bar{u} + \tau \left( \sigma - \frac{1}{2} \right) \bar{u}_t + O(\tau^2).
\end{aligned}$$

Здесь чертой сверху обозначено значение функции в точке  $(x_n; t_{m+1/2})$ . Следовательно,

$$\begin{aligned}
\Lambda_h \left[ \sigma \hat{u} + (1 - \sigma) u \right] &= \Lambda_h \left[ \bar{u} + \tau \left( \sigma - \frac{1}{2} \right) \bar{u}_t + O(\tau^2) \right] = \\
&= \bar{u}_{xx} + \left( \sigma - \frac{1}{2} \right) \tau \bar{u}_{txx} + O(\tau^2 + h^2).
\end{aligned}$$

Таким образом подстановка  $u(x, t)$  в разностное уравнение (14.1) дает

$$\underline{u_t(x_n, \bar{t})} + O(\tau^2) = \underline{a^2 u_{xx}(x_n, \bar{t})} + a^2 \tau \left( \sigma - \frac{1}{2} \right) u_{txx}(x_n, \bar{t}) + \varphi_n^m + O(\tau^2 + h^2).$$

В силу задачи (11) подчеркнутые члены анулируются, если в уравнении есть слагаемое  $f(x_n, \bar{t})$ . Таким образом, если мы хотим обеспечить аппроксимацию задачи (11), необходимо:

$$\varphi_n^m = f(x_n, \bar{t}) = f \left( x_n, t_{m+\frac{1}{2}} \right).$$

Тогда:

- 1) при  $\sigma \neq \frac{1}{2}$  мы получаем аппроксимацию уравнения (11.1) с порядком  $O(\tau + h^2)$ ;
- 2) при  $\sigma = \frac{1}{2}$  мы получаем повышенный порядок аппроксимации  $O(\tau^2 + h^2)$  (обратим внимание на наличие симметрии в сеточном шаблоне).
- 3) Аппроксимация начальных условий в этой задаче тривиальна:

$$\chi_n^0 = \mu(x_n, t_0)$$

чтобы не вносить дополнительной погрешности ( $\eta_1 \equiv 0$ ).

### 3.3 Устойчивость разностной схемы (14)

Напомним еще раз: *линейная схема (14) называется устойчивой по входным данным (по правой части и начальным условиям), если при достаточно малых  $h$  и  $\tau$  существуют  $C_1, C_2$  (не зависящие от  $h$  и  $\tau$ ), такие что,*

$$\|\delta y\| \leq C_1 \|\delta \varphi\| + C_2 \|\delta \chi\|,$$

*то есть, решение непрерывно зависит от правой части и начальных условий.*

Устойчивость разностной схемы, а следовательно и её сходимость при наличии аппроксимации, мы покажем в равномерной (чебышевской) метрике:

$$\|y\|_l = \max_{n,m} |y_n^m|$$

(сеточный аналог равномерной по  $t$  и  $x$  метрики).

Введем норму сеточного решения на  $m$ -ом слое:

$$\|y^m\| = \max_n |y_n^m|.$$

В силу Теоремы 1 (о достаточном условии равномерной устойчивости линейных разностных схем по начальным условиям) и Теоремы 2 (достаточного условия устойчивости линейной разностной схемы по правой части), нам достаточно показать, что, если существуют  $C_1 \geq 0$  и  $C_2 > 0$  и

$$\|y^{m+1}\| \leq (1 + \tau C_1) \|y^m\| + \tau C_2 \|\varphi\|, \quad (*)$$

то схема устойчива по входным данным.

Ограничимся исследованием устойчивости в двух предельных случаях: чисто неявной ( $\sigma = 1$ ) и чисто явной ( $\sigma = 0$ ) схем.

**а) Устойчивость чисто неявной схемы ( $\sigma = 1$ ):** Рассмотрим разностное уравнение (14.1):

$$\frac{1}{\tau} (\hat{y} - y) = \alpha^2 \Lambda [\hat{y}] + \varphi_n^m = \frac{\alpha^2}{h^2} (y_{n+1}^{m+1} - 2y_n^{m+1} + y_{n-1}^{m+1}) + \varphi_n^m.$$

Обозначим  $\gamma = \frac{\tau \alpha^2}{h^2}$ , тогда

$$\begin{aligned} y_n^{m+1} - y_n^m &= \gamma (y_{n+1}^{m+1} - 2y_n^{m+1} + y_{n-1}^{m+1}) + \tau \varphi_n^m \iff \\ y_n^{m+1} &= y_n^m - \gamma (2y_n^{m+1} - y_{n+1}^{m+1} - y_{n-1}^{m+1}) + \tau \varphi_n^m. \end{aligned}$$

Покажем, что в этом случае ( $\sigma = 1$ ) достаточное условие устойчивости (\*) выполнено. Найдем на слое  $(m+1)$  тот узел  $k_0$ , в котором  $y_n^{m+1}$  принимает наибольшее значение:

$$\max_n y_n^{m+1} = y_{k_0}^{m+1} \geq y_n^{m+1}, \quad \forall n.$$

Тогда

$$2y_{k_0}^{m+1} - y_{k_0+1}^{m+1} - y_{k_0-1}^{m+1} \geq 0.$$

Поэтому

$$y_{k_0}^{m+1} \leq y_{k_0}^m + \tau \varphi_{k_0}^m \leq \max_n y_n^m + \tau \max_{n,m} \varphi_n^m. \quad (**)$$

С другой стороны, найдем на слое  $(m+1)$  узел  $l_0$  где  $y_n^{m+1}$  принимает минимальное значение:

$$\min_n y_n^{m+1} = y_{l_0}^{m+1} \leq y_n^{m+1}, \quad \forall n.$$

Тогда

$$2y_{l_0}^{m+1} - y_{l_0+1}^{m+1} - y_{l_0-1}^{m+1} \leq 0$$

и

$$y_{l_0}^{m+1} \geq y_{l_0}^m + \tau \varphi_{l_0}^m \geq \min_n y_n^m + \tau \min_{n,m} \varphi_n^m. \quad (***)$$

Объединяя (\*\*) и (\*\*\*), найдем:

$$\|y^{m+1}\| = \max_n |y_n^{m+1}| \leq \|y^m\| + \tau \|\varphi\|,$$

что совпадает с условием (\*) при  $C_1 = 0, C_2 = 1$ . Таким образом, неявная схема ( $\sigma = 1$ ) безусловно устойчива по входным данным (при любых  $\tau$  и  $h$ ).

**б) Устойчивость чисто явной схемы ( $\sigma = 0$ ):** Для чисто явной схемы уравнение (14.1) имеет вид:

$$\frac{1}{\tau} (y_n^{m+1} - y_n^m) = \alpha^2 \Lambda [y_n^m] + \varphi_n^m.$$

Откуда

$$y_n^{m+1} = y_n^m + \gamma (y_{n+1}^m - 2y_n^m + y_{n-1}^m) + \tau \varphi_n^m = (1 - 2\gamma) y_n^m + \gamma y_{n-1}^m + \gamma y_{n+1}^m + \tau \varphi_n^m.$$

Пусть  $(1 - 2\gamma) > 0$ , то есть  $0 < \gamma < \frac{1}{2}$ , тогда

$$\begin{aligned} |y_n^{m+1}| &= |(1 - 2\gamma) y_n^m + \gamma y_{n-1}^m + \gamma y_{n+1}^m + \tau \varphi_n^m| \leq \\ &\leq (1 - 2\gamma) |y_n^m| + \gamma |y_{n+1}^m| + \gamma |y_{n-1}^m| + \tau |\varphi_n^m|, \quad \forall n. \end{aligned}$$

Тем самым

$$\|y^{m+1}\| \leq \|y^m\| + \tau \|\varphi\|, \quad C_1 = 0; C_2 = 1.$$

Итак, при

$$\gamma = \frac{\tau a^2}{h^2} < \frac{1}{2} \quad (15)$$

явная схема устойчива. Это условие накладывает жесткие ограничения на временной шаг сетки:

$$\tau < \frac{h^2}{2a^2}. \quad (15^*)$$

Покажем, что при  $\gamma > \frac{1}{2}$  явная схема *неустойчива* в чебышевской норме. Для этого достаточно показать, что, однажды возникнув, ошибка в решении будет при дальнейших вычислениях неограниченно возрастать. Рассмотрим однородную задачу (без правой части). Соответствующие возмущения — это возмущения начальных условий на данном слое. Схема при этом имеет вид

$$y_n^{m+1} = (1 - 2\gamma) y_n^m + \gamma y_{n-1}^m + \gamma y_{n+1}^m.$$

Пусть на  $m$ -ом слое возникла ошибка  $\delta y_n^m$ , тогда

$$\tilde{y}_n^m = y_n^m + \delta y_n^m$$

и, поскольку  $\tilde{y}_n^m$  — это решение той же схемы,

$$\tilde{y}_n^{m+1} = y_n^{m+1} + \delta y_n^{m+1} = (1 - 2\gamma) (y_n^m + \delta y_n^m) + \gamma \tilde{y}_{n+1}^m + \gamma \tilde{y}_{n-1}^m,$$

то в силу линейности нашей задачи, получаем уравнение для ошибки:

$$\delta y_n^{m+1} = \delta y_n^m (1 - 2\gamma) + \gamma \delta y_{n+1}^m + \gamma \delta y_{n-1}^m.$$

Предположим, что ошибка является быстро осциллирующей функцией и имеет вид:

$$\delta y_n^m = (-1)^n \varepsilon; \quad \varepsilon > 0,$$

где  $\varepsilon$  — некоторое достаточно малое число, тогда:

$$\delta y_n^{m+1} = (1 - 2\gamma)(-1)^n \varepsilon + \gamma(-1)^{n+1} \varepsilon + \gamma(-1)^{n-1} \varepsilon = (-1)^n \varepsilon (1 - 4\gamma).$$

Но, так как  $\gamma > 1/2$ , то  $4\gamma > 2$  и

$$\delta y_n^{m+1} = (-1)^{n+1} \varepsilon (4\gamma - 1).$$

Следовательно через  $k$  временных слоев

$$|\delta y_n^{m+k}| = \varepsilon (4\gamma - 1)^k \rightarrow \infty, \quad k \rightarrow \infty.$$

Уменьшение шага  $\tau$  (при  $\gamma > \frac{1}{2}$ ) не спасает, ибо при фиксированном  $T$  растет объем неустойчивых вычислений (за счет числа шагов), следовательно и ошибка. Значит явная схема  $\sigma = 0$  при  $\gamma = \frac{\tau a^2}{h^2} > \frac{1}{2}$  — неустойчива.

**Замечания:**

1) В силу устойчивости наших схем, мы показали, что  $\|y^{m+1}\| \leq \|y^m\| + \tau \|\varphi\|$ . Это неравенство доказывает принцип максимума для наших схем: Пусть  $\varphi = 0$  тогда

$$\|y^{m+1}\| \leq \|y^m\| \leq \dots \leq \|y^0\| = \|\chi\|$$

таким образом, во внутренних точках  $t$  и  $x$  норма решения не превосходит норму начальных условий.

2) В сеточном аналоге нормы  $L_2$  методом гармоник (далее) можно показать, что схема (14) устойчива при

$$\sigma \geq \frac{1}{2} - \frac{h^2}{4\tau a^2}. \quad (15')$$

В частности

- а)  $\sigma = \frac{1}{2}$  — безусловно устойчивая схема.
- б) Схема с  $\sigma = 0$  устойчива при условии

$$\frac{h^2}{4\tau a^2} \geq \frac{1}{2} \Leftrightarrow \frac{\tau a^2}{h^2} \leq \frac{1}{2} \Leftrightarrow \tau \leq \frac{h^2}{2a^2}.$$

3) Можно показать, что в  $C$  схема (14) устойчива по входным данным при

$$\sigma \geq \frac{1}{2} - \frac{h^2}{2\tau a^2}. \quad (15'')$$

В частности схема с  $\sigma = 0$  устойчива при условии

$$\tau \leq \frac{h^2}{a^2}.$$

### 3.4 Сходимость разностной схемы (14)

Рассмотрим погрешность сеточного решения

$$z_n^m = y_n^m - u_n^m$$

$u_n^m = u(x_n, t_m)$  при простейшем способе проектирования  $u(x, t)$  на сетку  $\Omega$ .

Мы показали, что при наличии аппроксимации и устойчивости разностной схемы она обладает сходимостью, и порядок точности схемы (14) не ниже её порядка аппроксимации. В нашем случае имеет место равномерная сходимость либо сходимость



в среднем (в той же метрике, где есть и устойчивость). Поэтому для погрешности сеточного решения имеем оценки

а)  $\sigma = \frac{1}{2}$  :

$$\|z\|_c = O(h^2 + \tau^2)$$

$$u(x, t) \in C^{(4)}[0, l] \times C^{(3)}[0, T].$$

б)  $\sigma \neq \frac{1}{2}$  :

$$\|z\|_c = O(\tau + h^2)$$

$$u(x, t) \in C^{(4)}[0, l] \times C^{(2)}[0, T]$$

(16)

При этом для обеспечения соответствующей аппроксимации, решение задачи (11) должно обладать указанной гладкостью.

### 3.5 Алгоритмы численного решения задачи (14). Прогонка

Сделаем краткое замечание относительно способов решения задачи (14).

**а) В случае явной схемы ( $\sigma = 0$ ).** Алгоритм очевиден и определяется написанной явной формулой:

$$\begin{cases} y_n^{m+1} = (1 - 2\gamma)y_n^m + \gamma y_{n-1}^m + \gamma y_{n+1}^m + \tau \varphi_n^m; & 1 \leq n \leq N-1 \\ y_0^{m+1} = y_N^{m+1} = 0; \\ y_n^0 = \chi_n \end{cases} \quad (14*)$$

Напомним, что  $\gamma < \frac{1}{2}$ .

**б) Для неявной схемы ( $\sigma = 1$ ).** Решение на  $(m+1)$ -ом временном слое находим из формул

$$\hat{y}_n = y_n - \gamma(2\hat{y}_n - \hat{y}_{n+1} - \hat{y}_{n-1}) + \tau \varphi_n^m,$$

что приводит к алгебраической системе

$$(1 + 2\gamma)\hat{y}_n + \gamma\hat{y}_{n-1} + \gamma\hat{y}_{n+1} = y_n + \tau \varphi_n^m \Leftrightarrow$$

$$\begin{cases} A_n \hat{y}_{n-1} + B_n \hat{y}_n + C_n \hat{y}_{n+1} = F_n; \\ \hat{y}_0 = \hat{y}_N = 0. \end{cases} \quad (14 **)$$

Это СЛАУ с трехдиагональной матрицей, имеющей диагональное преобладание  $B_n \geq A_n + C_n$ . В таком случае решение  $\hat{y}_n$  существует и единственно. Решение дается формулами прогонки. Вычисления устойчивы. Общий объем вычислений при переходе на  $(m+1)$ -ый слой  $O(9N)$  действий и требуется всего  $O(3N)$  ячеек памяти для хранения матрицы СЛАУ.

**Замечания:** Мы рассмотрели однопараметрическое семейство схем (14) для одномерного уравнения теплопроводности.

Явная схема ( $\sigma = 0$ ) алгоритмически наиболее проста, но требует выполнения жестких условий устойчивости  $\tau < \frac{h^2}{2a^2}$ , поэтому используется редко.

Широкое применение имеет схема  $\sigma = \frac{1}{2}$ , повышенной точности  $O(h^2 + \tau^2)$  — безусловно устойчивая схема.

Схемы с  $\sigma = \frac{1}{2}$ ,  $\sigma = 1$  особенно эффективны для уравнений с переменными коэффициентами или для квазилинейных уравнений.